

III-45 名古屋およびその周辺のマイクロゾーナーションについて (I)

名城大学理工学部 正 ○塚内孝英
同 正 宮村篤典

1. はじめに

名古屋市南部にある安城市域は昭和 20 年 1 月 13 日のいわゆる三河地震 ($M = 6.9$) により相当の被害を受ける。同地域は矢作川流域に属する溺山谷筋を含む極めて軟弱な冲積層上にあり、同地震による被害も軟弱な表面層の影響が少なくて済んだと考えられる。この意味でこの地域の地盤構造を調べて被害率分布と対比せしめることは興味深い問題であると考えられる。したがって、この地域の地質的特性を各種ボーリング資料より推定すると同時に、常時微動測定を用いた推定地盤構成に基く各地点について行い、スペクトル解析をして各地点のモード卓越周期分析を得、三河地震によるこの地域の被害率分布との相関性を検討した。常時微動測定に基く各種地盤のモード卓越周期と地震被害との相関性については既にいくつかの研究が報告されていて、本稿でも測定解析を遂する際の恣意性を極力避け得られた結果をそのままの形で報告するように心掛けた。

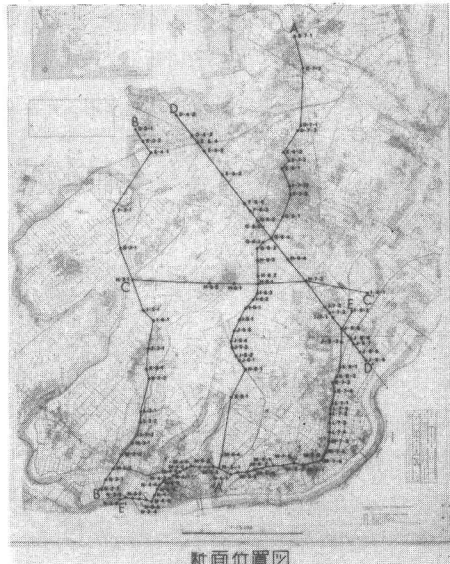
尚、データ解析は京大小坂研究室の解析機に依って行なった。ここに謝意を表する。

2. 安城地域の地盤概況

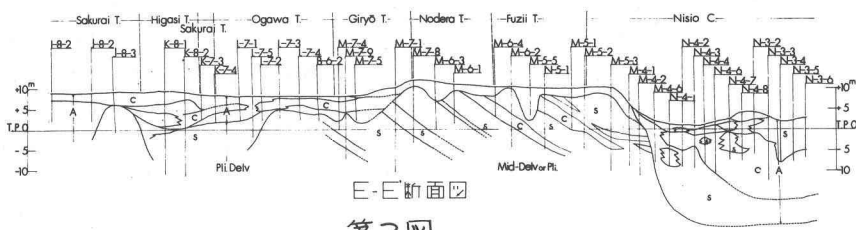
先に述べたように、三河地震時に木造家屋の被害の著しかったのは矢作川流域であり、とくに、明治村（現在安城市に合併）や西尾町（現在西尾市）等がこれに該当する。今回常時微動測定を伴う調査の対象となる地域は矢作川流域でもやや北部に属する安城市域である。安城市域の地形はマクロ的にはほぼ平坦な台地といはれ丘陵部を除いて矢作川の河谷といわゆる泥炭原からびに台地、獨立をさざむ溺山谷よりなる。

市域の中心部から北部の台地には丘陵上の地盤は表層より 2 m 程度まで軟弱な砂質シルトであるが、その下部 10 m までは N 値 10 ~ 30 の砂層が優勢となる。矢作川流域の沖積層は一概に表層部はシルトを含む砂を主体に粘土層を挟み、N 値は砂質土のところで 10 前後となるが大半は 5 程度である。

また、粘土、シルト層にすると N 値は 3 以下となり、いわゆる



第 1 図



第 2 図

軟弱地盤となる。この層の厚さは最大10m程度と推定されるが、深度が増してもN値は10~20が大半を占め30を越えることはほとんどない。また、市域南東部の矢作川の氾濫源地域ではN値10以下のシルト質粘土層と細砂からなる軟弱層が、深度10m~15mまでおよび、途中に有機質土を混入しているが、その下部は砂利層が現われる。したがって、この地域の沖積層の厚さは20m前後を推定され、その下部は共清層とし第三紀層と考えられる。

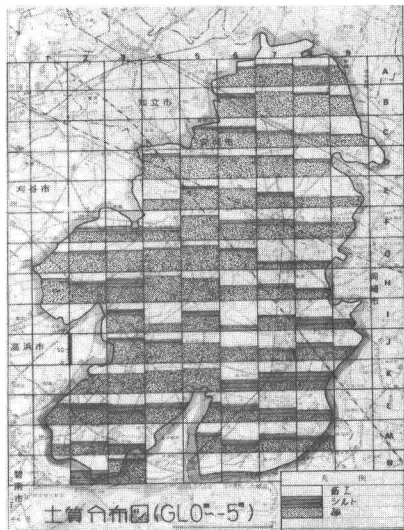
市域全般に亘る地盤の地質的特性を把握するに十分なボーリング資料が完全を期し難いが、三河地震による木造家屋被害率分布に対応する市域各部をふくめて資料を得られた。

これらボーリング資料採集位置図を第1図に示す。同図に示されるA-A'からE-E'に沿る線分の地盤断面推定位置を表しておれば、木造家屋被害率分布とも密接に連絡があると推定されるE-E'地盤断面図を第2図に挙げる。

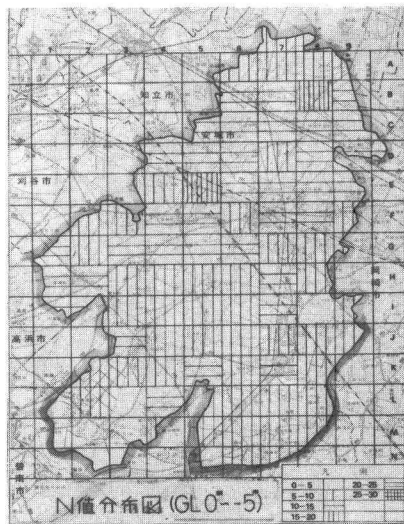
同図から理解されるように、ほぼ厚さ5mmの表層土は粘土かしらね粘性土質よりなるが、とくに、矢作川旧流域に属すると考えられる西尾市の部分では砂質および粘性土が複雑に入り混じるといえる。表層上の下部は西方向に傾斜する砂質土層からびに粘性土層と互層よりなり、前記矢作川旧流域に属する部分を始めとして、いわゆる渓谷を有する箇所が観察される。ここで省略されているが同様に傾斜した断面にて見られ、この地域の地層のもつ複雑性を窺わせる。

以下薄羅町地層構成をより簡潔に整理するため、1141m×924mの標準メッシュ区间に地表より厚さ5mの部分に存在する粘土、シルトおよび砂の混在割合分布を平面的に示したもののが第3図である。第3図より、市域北西部の大半は砂質土が卓越した地層であると考えられる。残り南東部は粘土およびシルト質土が優勢な地盤構造となっていることが理解できる。

第4図は地表より厚さ5mまでの平均N-値分布を土壤、地質に關係なく平面的に示したもので、第3図の土質分布図との対応メッシュから、半規則に粘土およびシルト質の地盤に比較的低いN値を示していることが読み取れる。とくに、矢作川旧流域に属する地域では粘土およびシルト質土の優勢な地盤であることから、地表層の脆弱であることなどが想され、前述の三河地震における木造家屋被害率とも密接に連絡しているものと想われる。この意味からさらにこの地域に対する地下構造の十分なる解明をする必要があろう。したがって、該市域全般に亘る地盤概況は第3図および第4図から把握することができる。これら2つの図は前述の常時微動測定地図の位置決定、地盤の常時微動に対する卓越周期との実験を検討する基本的資料として得立つものと考えられる。



第3図



第4図